

06.2; 06.3

© 1993

# ВЛИЯНИЕ НАПРЯЖЕНИЯ СМЕЩЕНИЯ НА ФОТОЧУВСТВИТЕЛЬНОСТЬ БАРЬЕРОВ ШОТТКИ $Au-n-Ga_{1-x}Al_xAs$

С.Г. Конников, Г.Д. Мелебаев,  
Д. Мелебаев, В.Ю. Рудь,  
Ю.В. Рудь, А. Беркелиев,  
М. Сергинов

Варизонные поверхности-барьерные структуры ( $m$ ) металл- $(s)$  полупроводник (барьеры Шоттки), когда градиент ширины запрещенной зоны ориентирован вдоль нормали к плоскости  $m-s$ -перехода, который расположен на узкозонной поверхности варизонного кристалла  $n-Ga_{1-x}Al_xAs$ , нашли в последние годы применение в фотоэлектронике в качестве селективных [1, 2] и широкополосных [3–5] фотоприемников видимого и ультрафиолетового излучения. В опубликованных к настоящему времени работах, посвященных барьераам Шоттки металл- $n-Ga_{1-x}Al_xAs$ , в основном исследовались параметры барьераов ( $\varphi_B$ ) и механизм протекания тока, тогда как влияние напряжения смещения на спектр чувствительности практически не изучалось.

Данная работа посвящена экспериментальному исследованию влияния напряжения смещения на спектр фототока селективно-чувствительных варизонных барьеров Шоттки  $Au-n-Ga_{1-x}Al_xAs$ , когда градиент ширины запрещенной зоны  $Ga_{1-x}Al_xAs$  был перпендикулярен к плоскости  $m-s$ -перехода, а освещение структур производилось со стороны прозрачного полупроводника. Варизонные слои  $n-Ga_{1-x}Al_xAs$  толщиной  $d = 10\text{--}100$  мкм выращивались методом жидкостной эпитаксии на подложках  $n-GaP$  (111) и  $n-GaP_{0.4}As_{0.6}$  (111) по методике [3, 6]. Микрорентгеновским анализом было установлено, что состав эпитаксиальных слоев  $Ga_{1-x}Al_xAs$ , выращенных на подложках ( $GaP$ ,  $GaPAs$ ), плавно изменяется по толщине, причем наибольшее содержание  $AlAs$  приходится на границу „слой-подложка“ и составляет  $x_0 = 0.4\text{--}0.65$ , а наименьшее содержание  $AlAs$  на поверхности слоя составляет  $x_s = 0.05\text{--}0.5$ , градиент ширины запрещенной зоны в разных слоях  $Ga_{1-x}Al_xAs$  был  $20\text{--}150$  эВ/см. Барьеры Шоттки ( $m-s$ -переход) изготавливали химическим способом нанесения полупрозрачного слоя палладий-золото по методике [7, 8]. Площадь  $m-s$ -перехода у разных структур лежала в пределах  $0.02\text{--}0.3$  см $^2$ . На основе анализа электрических и фотоэлектрических свойств  $Au-n-Ga_{1-x}Al_xAs/n-GaP(n-GaP_{0.4}As_{0.6})$  структур согласно методике [9] определялись основные параметры варизонных слоев  $n-Ga_{1-x}Al_xAs$  и поверхности-барьерных структур: концентрация свободных электронов ( $n = N_d - N_a = 7 \times$

Параметры селективных фотоприемников на основе барьера Шоттки  
 $Au-n-Ga_{1-x}Al_xAs$  при освещении барьера со стороны прозрачного полупроводника  
 $(T = 300 \text{ K}, U = 0)$ .

Фотоприемники	Энергия максимума $h\nu_m$ , эВ	Полуширина спектра $\delta_y$ , эВ	Квант. эффект-тив. при $h\nu_m$ , эл./ф.	Максимум, длин волн $\lambda_m$ , нм	Абсолют. чувст. при $\lambda_m$ , мА/Вт
$Au-Ga_{1-x}Al_xAs/GaP$	1.44	0.020	0.15	861	104
$Au-Ga_{1-x}Al_xAs/GaP$	1.50	0.060	0.26	827	173
$Au-Ga_{1-x}Al_xAs/GaPAs$	1.60	0.050	0.30	775	187
$Au-Ga_{1-x}Al_xAs/GaP$	1.67	0.045	0.30	742	180 [2]
$Au-Ga_{1-x}Al_xAs/GaPAs$	1.84	0.055	0.35	642	190
$Au-Ga_{1-x}Al_xAs/GaP$	1.96	0.065	0.20	633	102 [2]
$Au-Ga_{1-x}Al_xAs/GaP$	2.20	0.110	0.10	564	45 [2]

$\times 10^{14}$ – $8 \cdot 10^{16} \text{ см}^{-3}$ ), энергия прямых оптических переходов ( $E_{as} = 1.435\text{--}2.26$  эВ), диффузионно-дрейфовая длина ( $L_p^+ = 3\text{--}14$  мкм), ширина слоя объемного заряда при нулевом и разных напряжениях смещения ( $W = 0.14\text{--}3.05$  мкм), высота потенциального барьера ( $q\varphi_b = 0.92\text{--}1.49$  эВ) для разных структур и другие фотоэлектрические параметры селективных фотоприемников при  $T = 300 \text{ K}$  (см. таблицу).

На рис. 1, а, б приведены типичные результаты измерений спектров фоточувствительности одной из полученных структур при различных обратных смещениях. Из спектров фототока  $Au-n-Ga_{1-x}Al_xAs$  структур, измеренных при различных напряжениях смещениях  $U_{обр} = 0\text{--}2.5$  В, следует, что при подаче на барьерный контакт отрицательного смещения фоточувствительность состоит из одной узкой полосы (рис. 1, а). С ростом  $U_{обр}$  энергетическое положение максимума этой полосы  $h\nu_m$  при постоянном содержании  $Al$  вдоль плоскости  $m-s$ -перехода практически не изменяется, а величина фоточувствительности существенно увеличивается. Увеличение отношения  $I_f(U_{обр})/I_f(0)$  в зависимости от энергии фотонов связано, в основном, с расширением слоя объемного заряда при увеличении обратного смещения (рис. 1, б) и, возможно, внутренним усилением. Как видно из рис. 1, б, при изменении обратного напряжения от 0 до 2.5 В отношение  $I_f(U_{обр})/I_f(0)$  увеличивается не менее чем в 2 раза, а величина  $W$  расширяется от 1.8 до 3.0 мкм. Важно также отметить, что полуширина спектра  $\delta_y$  при  $U_{обр} \neq 0$ , наоборот, уменьшается на  $\approx 20\%$  по отношению к нулевому смещению, причем энергетическое положение максимума в спектре фоточувствительности остается неизменным (рис. 1, а). Следовательно, обнаруженная зависимость фоточувствительности  $m-s$ -структур от  $U_{обр}$  позволяет указать на новую возможность управления ее величиной.

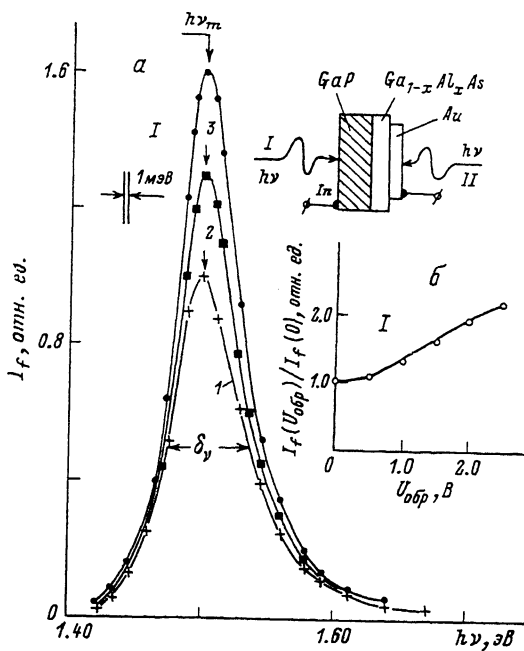


Рис. 1. а - спектральное распределение фототока барьеров  $Au-n-Ga_{1-x}Al_xAs$  в зависимости от обратного смещения при освещении  $m-s$ -перехода со стороны полупроводника ( $T = 300$  К, обр. № 2,  $x_s = 0.11$ ,  $U_{обр}$ , В : 1 - 0, 2 - -1.0, 3 - -1.5). На вставке показана геометрия освещения  $m-s$ -перехода. б - зависимость фототока барьера  $Au-n-Ga_{1-x}Al_xAs$  в области максимума фоточувствительности от обратного смещения ( $T = 300$  К, обр. № 2,  $x_s = 0.11$ ,  $h\nu_m = 1.50$  эВ).

На рис. 2 представлены спектры фототока короткого замыкания барьеров Шоттки  $Au-n-Ga_{1-x}Al_xAs$  в зависимости от геометрии освещения. Видно, что спектральная форма представленных кривых определяется не только градиентом ширины запрещенной зоны [3], но и геометрией освещения. При освещении  $m-s$ -переход со стороны полупроводника спектр фототока узкополосный (рис. 2, I), а энергетическое положение максимума  $h\nu_m$  обычно меньше энергии прямых оптических переходов  $E_{os}$  для данного состава твердого раствора в плоскости  $m-s$ -перехода (рис. 2, II). Анализ соотношения значений  $h\nu_m$  и  $E_{os}$  исследованных структур, в которых градиент ширины запрещенной зоны лежит в пределах  $\nabla E_g = 20-150$  эВ/см, позволяет утверждать, что связь между указанными параметрами может быть представлена эмпирическим соотношением  $E_{os}-h\nu_m = (2-3) \cdot kT$  ( $k$  - постоянная

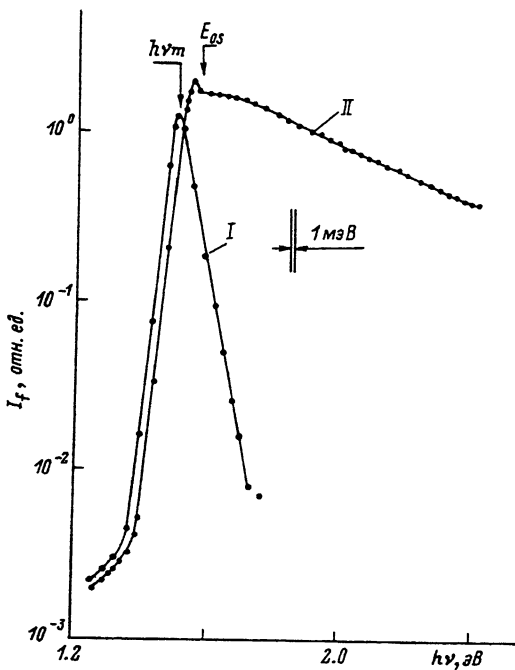


Рис. 2. Спектры фототока  $I_f$  варизонной структуры  $Au-n-Ga_{1-x}Al_xAs$  (I – освещение  $m-s$ -перехода со стороны полупроводника, II – со стороны полупрозрачного слоя металла:  $T = 300$  К  $x_s = 0.11$ , обр. № 2,  $U = 0$ .  $\varphi_B = 0.99$  эВ,  $\nabla E_g = 70$  эВ/см,  $L_p^+ = 6.3$  мкм).

Больцмана). Эта закономерность была установлена нами при исследовании созданных фотоприемников с заданным энергетическим положением максимума фоточувствительности. Параметры изготовленных и испытанных фотоприемников при 300 К приведены в таблице.

При освещении варизонной структуры со стороны широкозонной части полупроводника (рис. 2, кривая I) реализуется селективный режим фоточувствительности, т.е. удовлетворяется условие  $d > L^+ + W$  [1]. Согласно [10], в области сильного оптического поглощения ( $E_{omax} > h\nu > E_{omin}$ ) зависимость  $I_f$  от  $h\nu$  в коротковолновой части спектра выражается формулой

$$I_f = A_2 e^{-h\nu/L^+ \cdot |\nabla E_g|}, \quad (1)$$

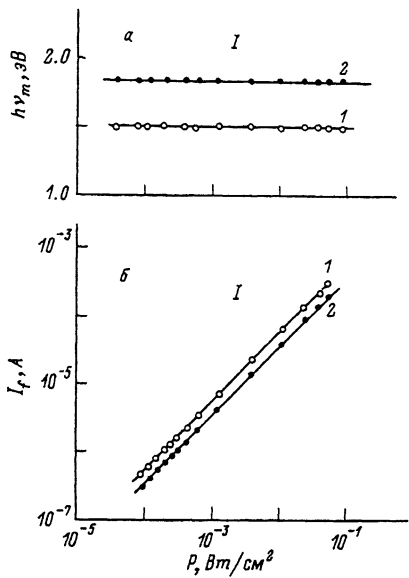


Рис. 3. Зависимость энергетического положения максимума полосы (а) и величины фототока короткого замыкания  $I_f$  (б) от плотности потока излучения Р для барьеров  $Au-n-Ga_{1-x}Al_xAs$  (1 – обр. № 2,  $x_s = 0.11$ ,  $h\nu_m = 1.50$  эВ; 2 – обр. № 5,  $x_s = 0.36$ ,  $h\nu_m = 1.84$  эВ.  $U = 0$ ;  $T = 300$  К).

где  $A_2 = \text{const}(h\nu)$ . Использование формулы (1) дает возможность непосредственно из спектральной характеристики определить диффузионно-дрейфовую длину неосновных носителей заряда  $L^+$  в направлении варизонной силы по спаду фототока в коротковолновой части спектров (рис. 2, кривая 1). Для этого случая формула (1) преобразуется к виду

$$L^+ = (h\nu_2 - h\nu_1) / \ln \frac{I_{f_1}}{I_{f_2}} \cdot |\nabla E_g|. \quad (2)$$

Сопоставление спектров фототока варизонных структур  $Au-n-Ga_{1-x}Al_xAs$  в этой области энергии фотонов (рис. 2, кривая I,  $h\nu > E_{OS}$ ) с формулой Волкова-Царенкова [10] при известных значениях  $\nabla E_g$  или  $\nabla E_0$  позволило определить значение  $L^+$  для различных структур. Эти величины составляли  $L_p^+ = 3-14$  мкм.

Очевидно, что возможности широкого применения разработанных быстродействующих селективных фотоприемников на барьерах Шоттки в оптоэлектронике главным образом определяются не только высокой квантовой эффективностью процессов фотопреобразования,

но также стабильностью фотоэлектрических параметров во времени при регистрации излучения из области максимума спектральной чувствительности  $\lambda_{\text{m}}$  в зависимости от плотности потока излучения Р. Примеры таких зависимостей для двух фотоприемников, выращенных на разных подложках, представлены на рис. 3. Зависимость  $I_f$  от Р оказалась линейной (рис. 3, б), причем  $\lambda_{\text{m}}$ , созданных селективных фотоприемников в диапазоне  $P = 10^{-5} - 10^{-1}$  Вт/см<sup>2</sup> практически не меняется при освещении в течение по крайней мере 120 мин. Важно отметить, что созданные фотоприемники оказываются нечувствительными к излучению за пределами узкого спектрального интервала и поэтому могут найти широкое применение в различных областях современной науки и техники.

В заключение авторы выражают благодарность А.С. Волкову, Б.В. Царенкову и Ю.П. Яковлеву за внимание к работе.

### Список литературы

- [1] Беркелиев А., Гольдберг Ю.А., Именков А.Н., Мелебаев Д., Царенков Б.В. // ФТП. 1978. Т. 12. В. 1. С. 96-101.
- [2] Беркелиев А., Гольдберг Ю.А., Именков А.Н., Мелебаев Д., Розыева М.Х. // Матер. 7-го междунар. совещ. по фотоэлектрическим и оптическим явлениям в твердых телах. Варна, 1983. С. 49-50.
- [3] Мелебаев Д. Исследование свойств поверхностно-барьерных  $GaAs_{1-x}P_x$  и  $Ga_{1-x}Al_xAs$  - структур и фотоприемников на их основе: Дис. канд. физ.-мат. наук. Ашхабад, 1977. 210 с. 210 с.
- [4] Беркелиев А., Мелебаев Д. // Изв. АН ТССР. Сер. ФТХ и ГН. 1977. № 1. С. 96-98.
- [5] Ataev J., Berkeliiev A., Durdiumurova M.G., Melebaev D. // 3-rd Conf. on Phys. and Technol. of GaAs and other III-V Semiconductors. Tatranska Lomnica, CSSR. 1988. Р. 160-163.
- [6] Melebaev D., Durdiumurova M.G., Berkeliiev A., Cornikova O.V. // Crystal Properties and Preparation. Trans. Tech Publications, Switzerland-Germany-US-USA. 1991. V. 32-34. P. 573-575.
- [7] Беркелиев А., Гольдберг Ю.А., Мелебаев Д., Царенков Б.В. // ФТП. 1976. Т. 10. В. 8. С. 1532-1534.
- [8] Вигдорович Е.Н., Гольдберг Ю.А. Дурдымуродова М.Г., Мелебаев Д., Царенков Б.В. // ФТП. 1991. Т. 25. В. 8. С. 1419-1422.

- [9] Б е р к е л и е в А . , Г о л ъ д б е р г Ю . А . , И м е н -  
к о в А . Н . , М е л е б а е в Д . , Р о зы е в а М . Х . // И зв .  
А Н Т С С Р . Сер . Ф ТХ и ГН . 1986 . № 1 . С . 8-14 .
- [10] Б ы в а л ы й В . А . , В ол к о в А . С . , Г о л ъ д -  
б е р г Ю . А . , Д м и т ри е в А . Г . , Ц а р е н к о в Б . В . //  
Ф ТП . 1979 . Т . 13 . В . 6 . С . 1110-1115 .

Физико-технический  
институт им. А.Ф. Иоффе РАН,  
С.-Петербург

Поступило в Редакцию  
19 января 1993 г.